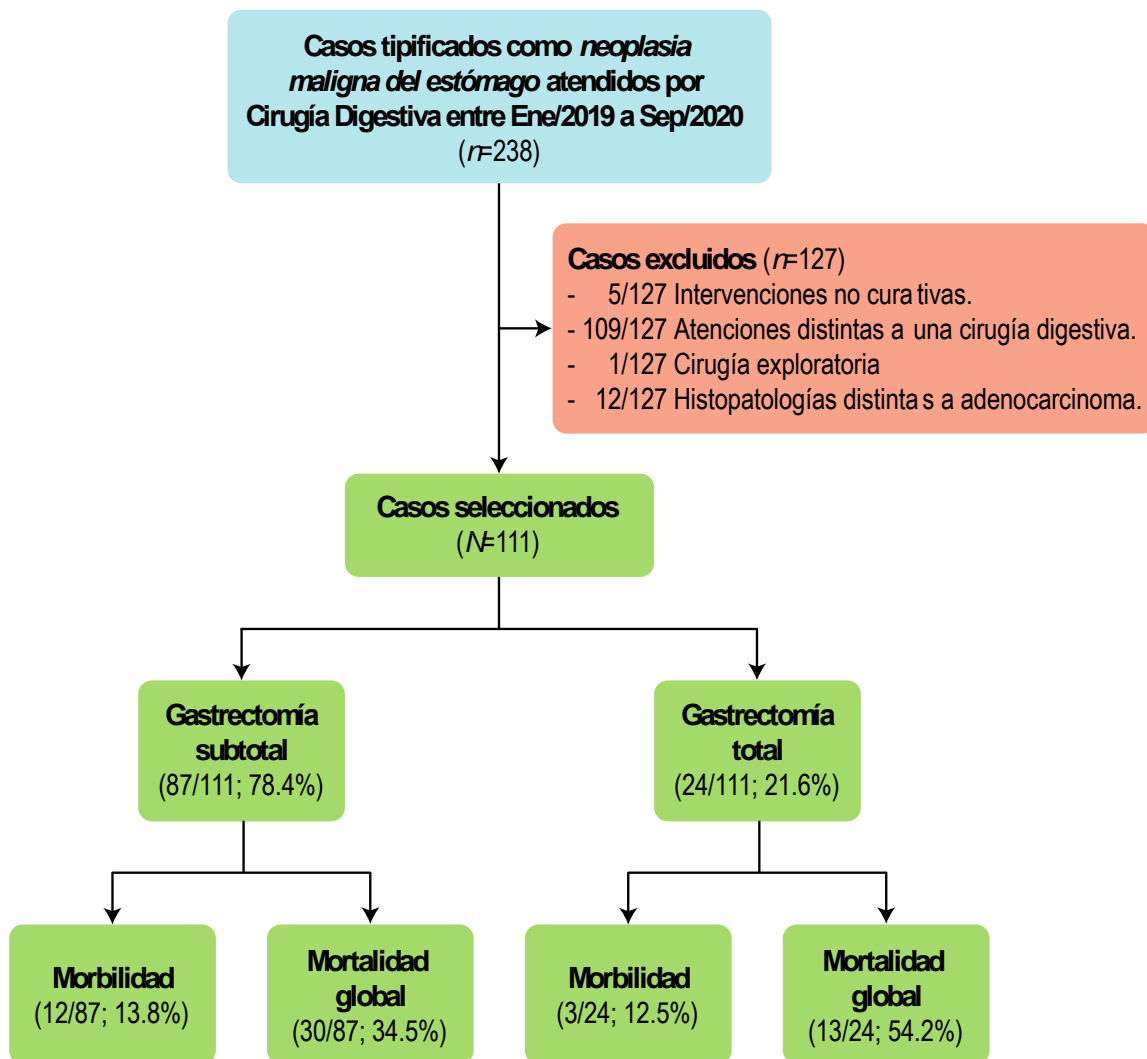


Factores asociados a morbilidad y mortalidad post-gastrectomía abierta subtotal vs. total con intención curativa por cáncer de estómago. Resultados de una cohorte histórica en un centro oncológico de Guayaquil entre el 2019 y el 2021

Figura 1. Flujo de selección de casos.



STROBE, *Strengthening the Reporting of Observational Studies in Epidemiology*.

Tabla 1. Características de la población de estudio.

	General (N=111)	Gastrectomía subtotal (n=87)	Gastrectomía total (n=24)	P-valor
Edad (años), mediana (RIC)	68.0 (59.0 - 74.5)	70.0 (61.5 - 78.0)	62.0 (52.0 - 67.3)	.004 ^a
18-39	3 (2.7)	2 (2.3)	1 (4.2)	
40-64	41 (36.9)	29 (33.3)	12 (50.0)	
≥65	67 (60.4)	56 (64.4)	11 (45.8)	
Género (femenino), n (%)	56 (50.5)	45 (51.7)	11 (45.8)	.7791 ^b
Cobertura (MSP/IESS/Prepaga)	28/69/14	21/54/12	7/15/2	.7935 ^c
Presentación clínica inicial*, n (%)				
Hemorragia digestiva	62 (55.9)	50 (57.5)	12 (50.0)	.6742 ^b
Oclusión	38 (34.2)	19 (21.8)	19 (79.2)	<.001 ^b
Síndrome de dumping	47 (42.3)	26 (29.9)	21 (87.5)	<.001 ^b
Clasificación de Bormann, n (%)				.0371 ^c
II	101 (91.0)	82 (94.3)	19 (79.2)	
III	9 (8.1)	4 (4.6)	5 (20.8)	
IV	1 (0.9)	1 (1.1)	-	
Estadio clínico, n (%)				.2223 ^c
I	54 (48.6)	44 (50.6)	10 (41.7)	
IIA	56 (50.5)	43 (49.4)	13 (54.2)	
IIB	1 (0.9)	-	1 (4.2)	
Sitio del tumor, n (%)				<.001 ^b
Unión esófago-gástrica	24 (21.6)	-	24 (100.0)	
Superposición con cuerpo	2 (1.8)	-	2 (8.3)	
Antro-píloro	87 (78.4)	87 (100.0)	-	
Histopatología, n (%)				.0054 ^c
Adenocarcinoma intestinal	92 (82.9)	77 (88.5)	15 (62.5)	
Adenocarcinoma difuso	19 (17.1)	10 (11.5)	9 (37.5)	
Quimioterapia, n (%)	91 (82.0)	71 (81.6)	20 (83.3)	.143 ^c
Neoadyuvante (XELOX)	5 (4.5)	2 (2.3)	3 (12.5)	
Adyuvante	86 (77.5)	69 (79.3)	17 (70.8)	
XELOX	74/86	56/69	13/17	
ILF	17/86	13/69	4/17	
Radioterapia adyuvante (3Dc), n (%)	30 (27.0)	16 (18.4)	14 (58.3)	<.001 ^b

ILF, irinotecan, leucovorina y 5-fluorouracilo; Post-Qx, post-quirúrgica; RIC, rango intercuartil; RTC-3D, radioterapia conformacional tridimensional; XELOX, capecitabina y oxaliplatino.

a. Prueba U de Mann-Whitney; b. Prueba chi-cuadrado de Pearson; c. Prueba exacta de Fisher.

Figura 2. Curva de sobrevida ilustrando

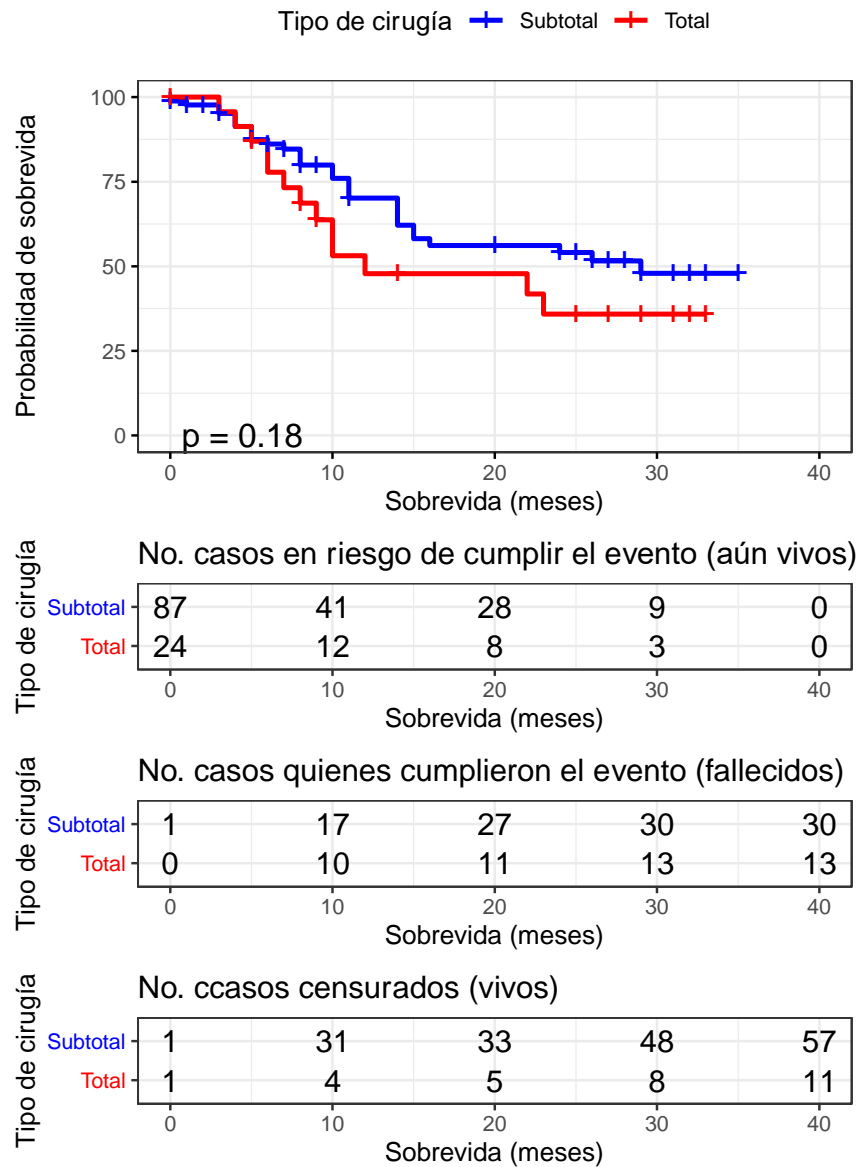


Figura 3. Número de casos vivos y fallecidos entre quienes presentaron algún evento adverso asociado a la cirugía (n=15/111; 13.5%).

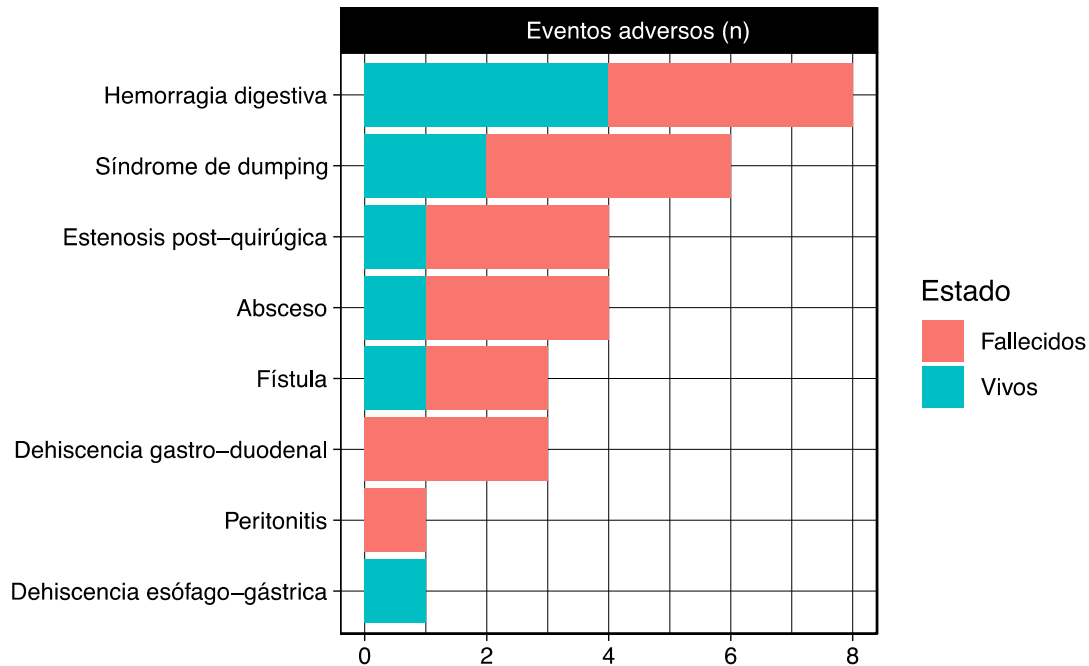


Tabla 2. Factores asociados a morbilidad (eventos adversos) posterior a gastrectomía subtotal o total.

	Total (N=87)	Ausencia de eventos adversos (N=75)	de Cuando menos evento adverso (N=12)	un P-valor
Edad (años), mediana (RIC)	70.0 (61.5 - 78.0)	69.0 (62.5 - 78.5)	-	71.0 (57.5 - 75.0) .9902 ^a
18-39	2 (2.3)	2 (2.7)	-	
40-64	29 (33.3)	25 (33.3)	4 (33.3)	
≥65	56 (64.4)	48 (64.0)	8 (66.7)	
Género (femenino), n (%)	45 (51.7)	39 (52.0)	6 (50.0)	1 ^b
Cobertura (MSP/IESS/Prepaga)	21/54/12	19/47/9	2/7/3	.5326 ^c
Presentación clínica inicial*, n (%)				
Hemorragia digestiva	50 (57.5)	43 (57.3)	7 (58.3)	1 ^b
Oclusión	19 (21.8)	18 (24.0)	1 (8.3)	.399 ^b
Síndrome de dumping	26 (29.9)	21 (28.0)	5 (41.7)	.5348 ^b

	Total (N=87)	Ausencia de eventos adversos (N=75)	Cuando menos evento adverso (N=12)	un P- valor
Clasificación de Bormann, n (%)				.0175 ^c
II	82 (94.3)	73 (97.3)	9 (75.0)	
III	4 (4.6)	2 (2.7)	2 (16.7)	
IV	1 (1.1)	-	1 (8.3)	
Estadio clínico, n (%)				
I	44 (50.6)	39 (52.0)	5 (41.7)	.5494 ^c
IIA	43 (49.4)	36 (48.0)	7 (58.3)	
Histopatología, n (%)				.1378 ^c
Adenocarcinoma intestinal	77 (88.5)	68 (90.7)	9 (75.0)	
Adenocarcinoma difuso	10 (11.5)	7 (9.3)	3 (25.0)	
Quimioterapia, n (%)	71 (81.6)	61 (81.3)	10 (83.3)	1 ^c
Neoadyuvante	2 (2.3)	2 (2.7)	-	
Adyuvante	69 (79.3)	59 (78.7)	10 (83.3)	
Radioterapia adyuvante (3Dc), n (%)	16 (18.4)	14 (18.7)	2 (16.7)	1 ^b
Estancia hospitalaria post-Qx (días), mediana (RIC)	6 (6 - 7)	6	9 (6.8 - 14.3)	<.001
Mortalidad				
Tasa de mortalidad a 30 días, n (%)	1 (1.1)	1 (1.3)	-	1 ^c
Tasa de mortalidad a 90 días, n (%)	2 (2.3)	1 (1.3)	1 (8.3)	.2582 ^c
Tasa de mortalidad global, n (%)	30 (34.5)	23 (30.7)	7 (58.3)	
Mediana de supervivencia global (RIC)	8 (5 - 25.5)	8 (5 - 25)	19 (9.5 - 27)	.4 ^d

Post-Qx, post-quirúrgica; **RIC**, rango intercuartil; **RTC-3D**, radioterapia conformacional tridimensional.

a. Prueba U de Mann-Whitney; b. Prueba chi-cuadrado de Pearson; c. Prueba exacta de Fisher; Prueba Mantel-Cox.

Tabla 3. Factores asociados a la mortalidad global en pacientes en quienes se realizó gastrectomía subtotal o total.

	Total (N=87)	Vivos (N=57)	Fallecidos (N=30)	P-valor
Edad (años), mediana (RIC)	70.0 (61.5 - 78.0)	69.0 (63.0 - 78.0)	70.5 (61.0 - 75.0)	.7681 ^a
18-39	2 (2.3)	2 (3.5)	-	
40-64	29 (33.3)	18 (31.6)	11 (36.7)	
≥65	56 (64.4)	37 (64.9)	19 (63.3)	
Género (femenino), n (%)	45 (51.7)	27 (47.4)	18 (60.0)	.3708 ^b
Cobertura (MSP/IESS/Prepaga)	21/54/12	14/35/8	7/19/4	1 ^c
Presentación clínica inicial*, n (%)				
Hemorragia digestiva	50 (57.5)	32 (56.1)	18 (60.0)	.9061 ^b
Oclusión	19 (21.8)	12 (21.1)	7 (23.3)	1 ^b
Síndrome de dumping	26 (29.9)	13 (22.8)	13 (43.3)	.0815 ^b
Clasificación de Bormann, n (%)				.0038 ^b
II	82 (94.3)	57 (100.0)	25 (83.3)	
III	4 (4.6)	-	4 (13.3)	
IV	1 (1.1)	-	1 (3.3)	
Estadio clínico, n (%)				.0734 ^c
I	44 (50.6)	33 (57.9)	11 (36.7)	
IIA	43 (49.4)	24 (42.1)	19 (63.3)	
Histopatología, n (%)				.7317 ^c
Adenocarcinoma intestinal	77 (88.5)	51 (89.5)	26 (86.7)	
Adenocarcinoma difuso	10 (11.5)	6 (10.5)	4 (13.3)	
Quimioterapia, n (%)				.1129 ^c
Neoadyuvante	2 (2.3)	-	2 (6.7)	
Adyuvante	69 (79.3)	48 (84.2)	21 (70.0)	
Radioterapia adyuvante (3Dc), n (%)	16 (18.4)	11 (19.3)	5 (16.7)	0.992 ^b
Estancia hospitalaria post- Qx (días), mediana (RIC)	6 (6 - 7)	6 (6 - 7)	6 (6 - 7)	.5142 ^a
Eventos adversos, n (%)	12 (13.8)	5 (8.8)	7 (23.3)	
Fístula	2 (2.3)	-	2 (6.7)	.1163 ^c

	Total (N=87)	Vivos (N=57)	Fallecidos (N=30)	P-valor
Hemorragia digestiva	5 (5.7)	2 (3.5)	3 (10.0)	.3348 ^c
Estenosis post-quirúrgica	3 (3.4)	1 (1.8)	2 (6.7)	.2722 ^c
Síndrome de Dumping	5 (5.7)	2 (3.5)	3 (10.0)	.3348 ^c
Dehiscencia gastro-duodenal	3 (3.4)	-	3 (10.0)	.0383 ^c
Absceso	4 (4.6)	1 (1.8)	3 (10.0)	.1163 ^c
Peritonitis	1 (1.1)	-	1 (3.3)	.3448 ^c

Post-Qx, post-quirúrgica; **RIC**, rango intercuartil; **RTC-3D**, radioterapia conformacional tridimensional.
a. Prueba U de Mann-Whitney; b. Prueba chi-cuadrado de Pearson; c. Prueba exacta de Fisher.